

るために、観測データから潮汐などの影響を除けるのである。

昭和51年12月1日、12時40分～16時40分までの4時間の現地観測による波のデータを6秒間隔で読み取り、データ数 $n=2400$ について解析した。

解析にあたって、自由度の選択については、長周期のパワースペクトルを知る事が目的のため、信頼性との関係から自由度 $F=25$ とした。この場合の分解可能な最高周波数は、 0.83×10^{-1} C.P.S (12秒)となり、分解数 $m=190$ となる。

図-1に解析結果を示した。これより1番エネルギーの大きなC.P.Sは、 0.8772×10^{-3} であり、これに対応する周期は19分である。今回は時間の都合により、1回の観測しか出来なかったが、本来ならば数回の観測をしなければ信頼出来る結果は得られないように思う。

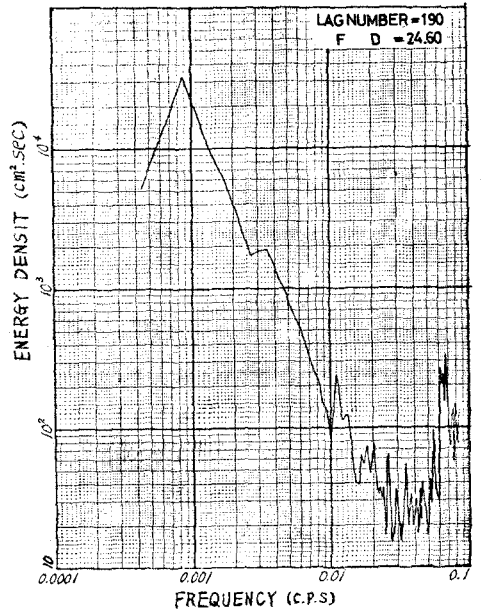


図-1

4. 仙台港完成時の固有振動周期予測

解析はノイマンの理論²⁾を基本として、仙台港を図-2のように5つの領域に分割して考えた。

解析の結果、基本モードの固有振動周期 $T_{max} = 145/acc = 24 \text{ min } 11 \text{ sec}$ となった。解析結果の良否を判定するために、昭和50年8月時点での仙台港の形状と同様の手法により解析した結果は、 $18 \text{ min } 45 \text{ sec}$ であった。その時点での定則は約20分の振動周期が観測されており、計算の値が短くなっている。これは、港口直前部の一定水域の海水も、湾内の海水と共に振動することに起因すると考えられる。このことから、完成時の固有振動周期も、計算により求められた値よりも長くなると思われる。

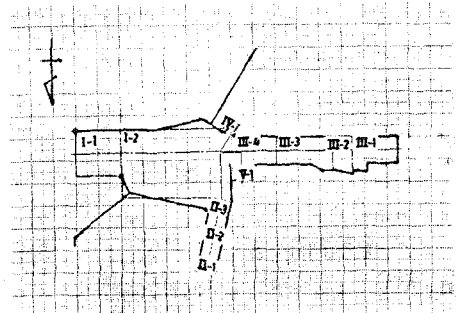


図-2

5. おわりに

本研究では、時間の都合により仙台港の副振動の概略をつかんだに過ぎなかったが、波高は20～30cm程度は越える筈の、50cmに達することはまれであるように思われる。固有振動周期 T_{max} も、25分前後で、わが国の他の湾でみられる固有振動周期と同程度と考えられる。

最後に、資料提供その他の多大な御協力を下さった第二港湾建設局塩釜工事事務所長 豊田茂男氏、コンピューター使用にあたって御指導いただいた東北工業大学土木科 内田至昭助教授に感謝いたします。

参考文献

- 1) 高橋啓晴 他: 海の波のパワースペクトルの数値計算, 港湾技研資料No.39, 1967, PP.18～23.
- 2) 堀川清司 他: 枝分れのある湾の振動特性について, 第4回海岸工学講演会講演集, 1967, PP.98～103.